

## · 实验研究 ·

# lncRNA LINC01089对氧糖剥夺/复氧损伤后小胶质细胞极化的影响

陈思思 朱馨艺 邓钢 王龙

**【摘要】**目的 探讨长链非编码RNA(lncRNA) LINC01089对小胶质细胞氧糖剥夺/复氧(OGD/R)损伤后表型和炎症反应的影响及其机制。方法 体外培养小鼠小胶质细胞B-V2细胞,OGD/R损伤后,转染lncRNA LINC01089过表达质粒及其空载质粒、沉默质粒siRNA及阴性对照,以及miR-449c-5p模拟物、抑制剂及其阴性对照寡核苷酸。采用qRT-PCR检测M1型小胶质细胞标记物iNOS mRNA和CD86 mRNA、M2型小胶质细胞标记物Arg1 mRNA和CD206 mRNA,lncRNA LINC01089、miR-449c-5p的表达水平;采用ELISA检测细胞上清液炎性因子的含量;采用免疫印迹法检测细胞STAT6蛋白表达水平。荧光素酶报告基因实验验证lncRNA LINC01089与miR-449c-5p以及miR-449c-5p与STAT6的靶向关系。结果 OGD/R损伤后,B-V2细胞lncRNA LINC01089表达水平显著下调,miR-449c-5p表达水平显著上调。荧光素酶报告基因实验结果显示,lncRNA LINC01089靶向负调控miR-449c-5p表达,miR-449c-5p靶向负调控STAT6表达。过表达lncRNA LINC01089,显著降低M1型标记物iNOS mRNA和CD86 mRNA表达水平及细胞上清液促炎因子IL-1 $\beta$ 、IL-6和TNF- $\alpha$ 的含量,明显增高M2型标记物Arg-1 mRNA和CD206 mRNA表达水平及细胞上清液抗炎因子IL-4、IL-10和TGF- $\beta$ 的含量。过表达lncRNA LINC01089可靶向负调控B-V2细胞miR-449c-5p表达,促进STAT6蛋白表达。**结论** 小胶质细胞OGD/R损伤后,lncRNA LINC01089表达下调,促使小胶质细胞向M1型转化,诱导炎症反应,其机制可能与靶向负调控miR-449c-5p/STAT6信号轴有关。

**【关键词】** 小胶质细胞;长链非编码RNA;lncRNA LINC01089;miR-449c-5p;小胶质细胞极化

**【文章编号】** 1009-153X(2022)03-0186-07   **【文献标志码】** A   **【中国图书资料分类号】** R 743

## Effect of lncRNA LINC01089 on microglia polarization after oxygen-glucose deprivation/reoxygenation injury

CHEN Si-si, ZHU Xin-yi, DENG Gang, WANG Long. Department of Neurosurgery, Renmin Hospital of Wuhan University, Wuhan 430060, China

**【Abstract】 Objective** To investigate the effect of lncRNA-LINC01089 on the phenotypic polarization of mouse microglia after oxygen-glucose deprivation/reoxygenation (OGD/R) injury. **Methods** The mouse microglia B-V2 cells were cultured in vitro. After OGD/R injury, lncRNA LINC01089 overexpression plasmid and its empty vector, silencing plasmid siRNA and negative control, as well as miR-449c-5p mimics, inhibitors and its negative control oligonucleotides were transfected into the cells. The expression levels of M1-type microglia markers iNOS and CD86 mRNAs, M2-type microglia markers Arg1 and CD206 mRNAs, lncRNA LINC01089, and miR-449c-5p were detected by qRT-PCR. The contents of inflammatory factors in cell supernatant were detected by ELISA. Western blotting was used to detect the expression level of STAT6 protein in B-V2 cells. The luciferase reporter gene experiment was used to verify the targeting relationship between lncRNA LINC01089 and miR-449c-5p, and miR-449c-5p and STAT6. **Results** After OGD/R injury, the expression level of lncRNA LINC01089 in B-V2 cells was significantly down-regulated, and the expression level of miR-449c-5p was significantly up-regulated. The results of the luciferase reporter gene assay showed that lncRNA LINC01089 targeted and negatively regulated the expression of miR-449c-5p, and miR-449c-5p targeted and negatively regulated the expression of STAT6. Overexpression of lncRNA LINC01089 significantly decreased the expression levels of M1-type markers iNOS and CD86 mRNAs, and significantly decreased the contents of pro-inflammatory cytokines IL-1 $\beta$ , IL-6 and TNF- $\alpha$  in the cell supernatant, and significantly increased the M2-type marker Arg-1 and CD206 mRNAs expression levels, and significantly increased the contents of anti-inflammatory factors IL-4, IL-10 and TGF- $\beta$  in cell supernatants. Overexpression of lncRNA LINC01089 can target and negatively regulate the expression of miR-449c-5p in B-V2 cells and promote the expression of STAT6 protein. **Conclusions** After OGD/R injury, the expression of lncRNA LINC01089 is down-regulated in microglia, which promotes the transformation of microglia to M1 type and induces inflammatory response. The mechanism may be related to the negative regulation of miR-449c-5p/STAT6 signaling axis.

**【Key words】** Microglia; Long non-coding RNA; lncRNA LINC01089; miR-449c-5p; Microglia polarization

脑卒中是目前全球第二大死亡原因,其中缺血性卒中是最常见的脑卒中类型,约占87%<sup>[1]</sup>。缺血性卒中与小胶质细胞极化导致的氧化应激和炎症反应有关<sup>[2]</sup>。研究发现,在特定条件下,M1型和M2型小胶质细胞可相互转化并调节脑内炎症反应,其中M1型分泌促炎因子,M2型分泌抗炎因子。了解缺血性卒中小胶质细胞极化的分子机制,有助于减轻卒中后炎症反应<sup>[3]</sup>。长链非编码RNA(long non-coding RNA, lncRNA)是一类长度超过200个核苷酸的非编码RNA,参与调控中枢神经系统的发育及多种疾病<sup>[4]</sup>。本研究探讨lncRNA LINC01089对小胶质细胞氧糖剥夺/复氧(oxygen-glucose deprivation/reoxygenation, OGD/R)损伤后极性和炎症反应的影响及其机制。

## 1 材料与方法

**1.1 细胞培养** BV-2细胞(中国科学院上海生命科学研究院)培养于含10%胎牛血清和1%双抗的DMEM培养基(美国Invitrogen公司)中培养。

**1.2 OGD/R小胶质细胞模型的构建** 将BV-2细胞接

种于无糖培养基中,置于含1%O<sub>2</sub>、5%CO<sub>2</sub>、94%N<sub>2</sub>的培养箱中培养150 min。然后,收集细胞置于正常培养基中,并在37℃、5%CO<sub>2</sub>培养箱中培养24 h。对照组细胞给予常规培养。

**1.3 细胞转染和转染后分组** 按照说明书,使用Lipofectamine 2000转染试剂(美国Invitrogen公司)将lncRNA LINC01089过表达质粒(pc-LINC01089)及其空载质粒(pc-NC)、siRNA(si-LINC01089)及阴性对照(si-NC)序列,miR-449c-5p模拟物、抑制剂及其阴性对照寡核苷酸分别转染进OGD/R细胞中,记为pc-LINC01089组、pc-NC组、si-LINC01089组、si-NC组、模拟物组、模拟物对照组、模拟物抑制剂组和模拟物抑制剂对照组。pc-LINC01089、pc-NC、si-LINC01089、si-NC序列、miR-449c-5p模拟物、抑制剂及其阴性对照均由上海吉玛公司构建。

**1.4 实时荧光定量PCR检测** 用TRIzol试剂提取细胞总RNA,用PrimeScriptTM RT试剂盒逆转录成cDNA,然后进行实时荧光定量PCR。引物序列见表1, GAPDH为lncRNA LINC01089,以及信号传导及转录激活蛋白6(signal transducer and activator of tran-

表1 实时荧光定量PCR引物序列

基因	引物序列
GAPDH	正义引物序列:5'-GAGTCAACGGATTGGTCGT-3' 反义引物序列:5'-TTGATTTGGAGGGATCTCG-3'
LINC01089	正义引物序列:5'-GCAGTAAACAGTCCTCAGCGAAG-3' 反义引物序列:5'-CGGTGCCATGGAGTCTAGAACAT-3'
STAT6	正义引物序列:5'-GTCTGGTCTCCAAGATGCC-3' 反义引物序列:5'-ATATGCTCTCAAGGGTGCTGA-3'
iNOS	正义引物序列:5'-CTCCTGGTGGTACAACCACATT-3' 反义引物序列:5'-ATGTCATGAGCAAAGGCGCAGAAC-3'
CD86	正义引物序列:5'-TCTCACGGAAACAGCATCT-3' 反义引物序列:5'-CTTACGGAAGCACCCATGAT-3'
Arg-1	正义引物序列:5'-CACAGTCTGGCAGTTGGAAG-3' 反义引物序列:5'-GGGAGTGTGATGTCAGTGTG-3'
CD206	正义引物序列:5'-CAAGGAAGGTTGGCATTGAT-3' 反义引物序列:5'-CCTTTCAAGTCCTTGCAAGC-3'
U6	正义引物序列:5'-GCTTCGGCAGCACATATACTAA-3' 反义引物序列:5'-GCTTCACAATTGCGTGTCA-3'
miR-449c-5p	正义引物序列:5'-CAGTGTATTGCTAGCGGCTGT-3' 反义引物序列:5'-AGTGCCTGTCGTGGAGTC-3'

scription 6, STAT6)、诱导型一氧化氮合酶(inducible nitric oxide, iNOS)、蛋白精氨酸合成酶-1(arginase-1, Arg-1)、白细胞分化抗原(cluster of differentiation, CD)86、CD206 等 mRNA 的内参, U6 为 miR-449-5p 内参。用  $2^{-\Delta\Delta CT}$  法评估表达水平。

**1.5 ELISA 测定炎性因子的含量** 取细胞上清液, 在 4 ℃条件下 6 200 转/min 离心 15 min, 去除沉淀, 使用 ELISA 试剂盒(武汉赛培生物科技有限公司)检测炎症因子的含量, 包括肿瘤坏死因子(tumor necrosis factor, TNF- $\alpha$ )、白细胞介素(interleukin, IL)-1 $\beta$ 、IL-6、IL-4、IL-10 和转化生长因子  $\beta$ (transform growth factor  $\beta$ , TGF- $\beta$ )。

**1.6 荧光素酶报告实验检测 lncRNA LINC01089 和 miR-449c-5p 的靶向关系** 将野生型 LINC01089-WT、突变型 LINC01089-MUT、野生型 STAT6-WT、突变型 STAT6-MUT 扩增后克隆入 pmirGLO 荧光报告中, 使用 Lipofectamine 2000 将双荧光素酶报告基因、miR-449c-5p 模拟物及其阴性对照序列转染至细胞后 48 h, 使用 Luciferase reporter assay system 检测荧光素酶活性。

**1.7 免疫印迹法检测 STAT6 蛋白的表达** 收集处理后的细胞, 用 RIPA 裂解缓冲液提取细胞总蛋白, 使用 BCA 法(美国 Pierce 公司)定量蛋白, 12% SDS-PAGE、100 V 电泳 2 h。然后电转移至 PVDF 膜。用 5% 脱脂奶粉室温封闭 1 h 后, TBST 洗膜 3 次, 加入一抗 STAT6(1:1 000), 在 4 ℃下孵育过夜。TBST 洗膜后, 在室温下将膜用辣根过氧化物酶标记的山羊抗兔 IgG(1:3 000)孵育 1 h。TBST 洗膜 3 次, 显色成像, 采用 Image J 分析蛋白灰度值。

**1.8 统计学处理** 采用 SPSS 22.0 软件分析; 定量资料以  $\bar{x} \pm s$  表示, 采用单因素方差分析和 LSD-t 检验; 以  $P < 0.05$  为差异有统计学意义。

## 2 结果

**2.1 OGD/R 损伤后 lncRNA LINC01089 的表达和小胶质细胞的极化状态** 与对照组相比, OGD/R 组 lncRNA LINC01089 表达水平显著降低( $P < 0.05$ ; 图 1A), 并且 OGD/R 组小胶质细胞 M1 型标记物 iNOS mRNA 和 CD86 mRNA 表达水平显著升高( $P < 0.05$ ; 图 1B), M2 型标记物 Arg1 mRNA 和 CD206 mRNA 表达水平显著降低( $P < 0.05$ ; 图 1B)。同时, OGD/R 组细胞上清液促炎因子 IL-1 $\beta$ 、IL-6 和 TNF- $\alpha$  水平显著升高( $P < 0.05$ ; 图 1C), 而抗炎因子 IL-4、IL-10 和 TGF- $\beta$  水平显著降低( $P < 0.05$ ; 图 1D)。

**2.2 lncRNA LINC01089 对 OGD/R 损伤后小胶质细胞极化和炎症反应的影响** 与 pc-NC 组相比, pc-LINC01089 组小胶质细胞 M1 型标记物 iNOS mRNA 和 CD86 mRNA 表达水平以及细胞上清液促炎因子 IL-1 $\beta$ 、IL-6 和 TNF- $\alpha$  水平显著降低( $P < 0.05$ ; 图 2A、2C), M2 型标记物 Arg1 mRNA 和 CD206 mRNA 表达水平以及抗炎因子 IL-4、IL-10 和 TGF- $\beta$  水平显著增高( $P < 0.05$ ; 图 2B、2D)。

与 si-NC 组相比, si-LINC01089 组小胶质细胞 M1 型标记物 iNOS mRNA 和 CD86 mRNA 表达水平以及细胞上清液促炎因子 IL-1 $\beta$ 、IL-6 和 TNF- $\alpha$  水平显著增高( $P < 0.05$ ; 图 2A、2C), M2 型标记物 Arg1 mRNA 和 CD206 mRNA 表达水平以及抗炎因子 IL-4、IL-10 和 TGF- $\beta$  水平显著降低( $P < 0.05$ ; 图 2B、2D)。

**2.3 lncRNA LINC01089 与 miR-449c-5p 的关系** 通过在线网站 StarBase 预测 lncRNA LINC01089 与 miR-449c-5p 的结合位点(图 3A)。OGD/R 处理后, 小胶质细胞 miR-449c-5p 表达水平显著增高( $P < 0.05$ ; 图 3B)。双荧光素酶报告实验结果显示, 与模拟物对照组组相比, 模拟物组含 LINC01089-WT 荧光素酶活性显著降低( $P < 0.05$ ; 图 3C), 而含 LINC01089-Mut 荧光素酶无显著差异( $P > 0.05$ ; 图 3C), 表明 miR-449c-5p 显著抑制 LINC01089-WT 荧光素酶活性, 但不能抑制 LINC01089-Mut 荧光素酶活性。与 pc-NC 组相比, pc-LINC01089 组细胞 miR-449c-5p 表达水平显著降低( $P < 0.05$ )。与 si-NC 组相比, si-LINC01089 组细胞 miR-449c-5p 表达水平显著增高( $P < 0.05$ ; 图 3D)。

**2.4 miR-449c-5p 对小胶质细胞的活化与炎症反应影响** 与模拟物对照组组相比, miR-449c-5p 模拟物组 M1 型标志物 iNOS mRNA 和 CD86 mRNA 表达水平显著增高( $P < 0.01$ ; 图 4A), 细胞上清液促炎因子 IL-1 $\beta$ 、IL-6 和 TNF- $\alpha$  含量显著升高( $P < 0.05$ ; 图 4B), M2 型标志物 Arg1 mRNA 和 CD206 mRNA 表达水平显著降低( $P < 0.001$ ; 图 4C), 细胞上清液抗炎因子 IL-4、IL-10 和 TGF- $\beta$  含量显著降低( $P < 0.01$ ; 图 4D)。而 miR-449c-5p 抑制剂干预后, 明显抑制 miR-449c-5p 模拟物的作用( $P < 0.01$ ; 图 4)。

**2.5 miR-449c-5p 与 STAT6 的关系** 利用在线靶基因预测网站 TargetScan 预测 miR-449c-5p 的靶基因, 发现 miR-449c-5p 能够与 STAT6 的 3'-UTR 特定区域靶向结合(图 5A)。与模拟物对照组组相比, miR-449c-5p 组含 STAT6-WT 荧光素酶活性显著降低

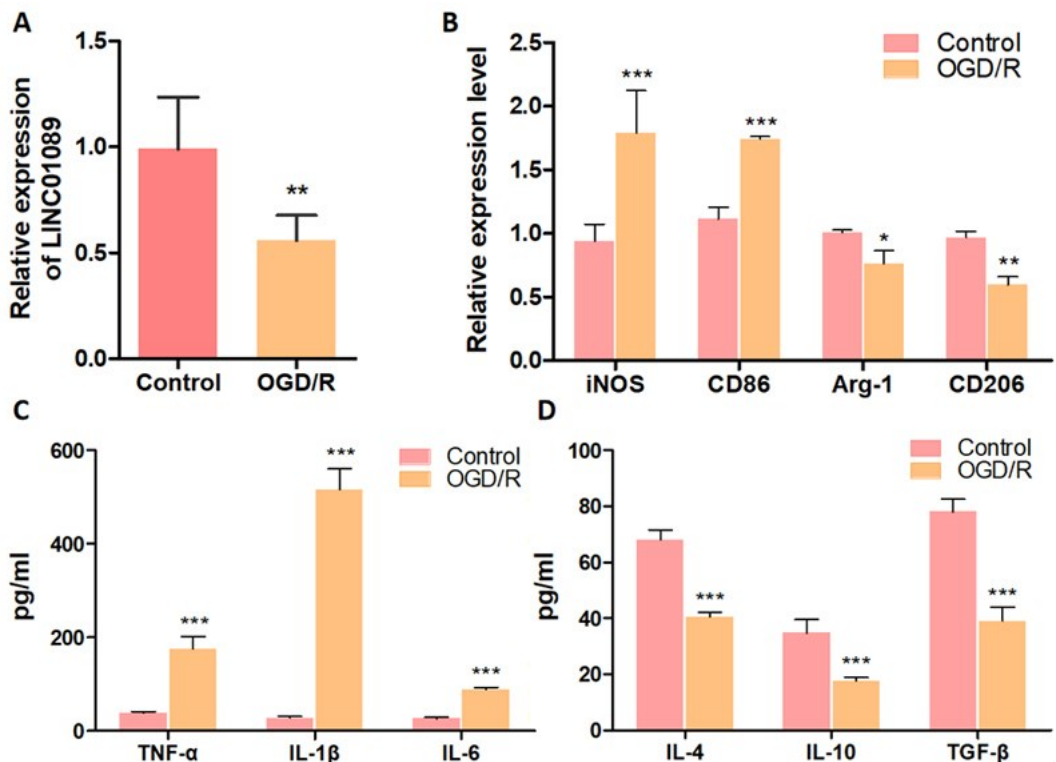


图1 小胶质细胞OGD/R损伤lncRNA LINC01089的表达和小胶质细胞的极化状态

A. 小胶质细胞lncRNA LINC01089表达；B. 小胶质细胞表型标志物表达；C. 小胶质细胞上清液促炎因子分泌水平；D. 小胶质细胞上清液抗炎因子分泌水平；与对照组相应值比较, \*\* P<0.01, \*\*\* P<0.001

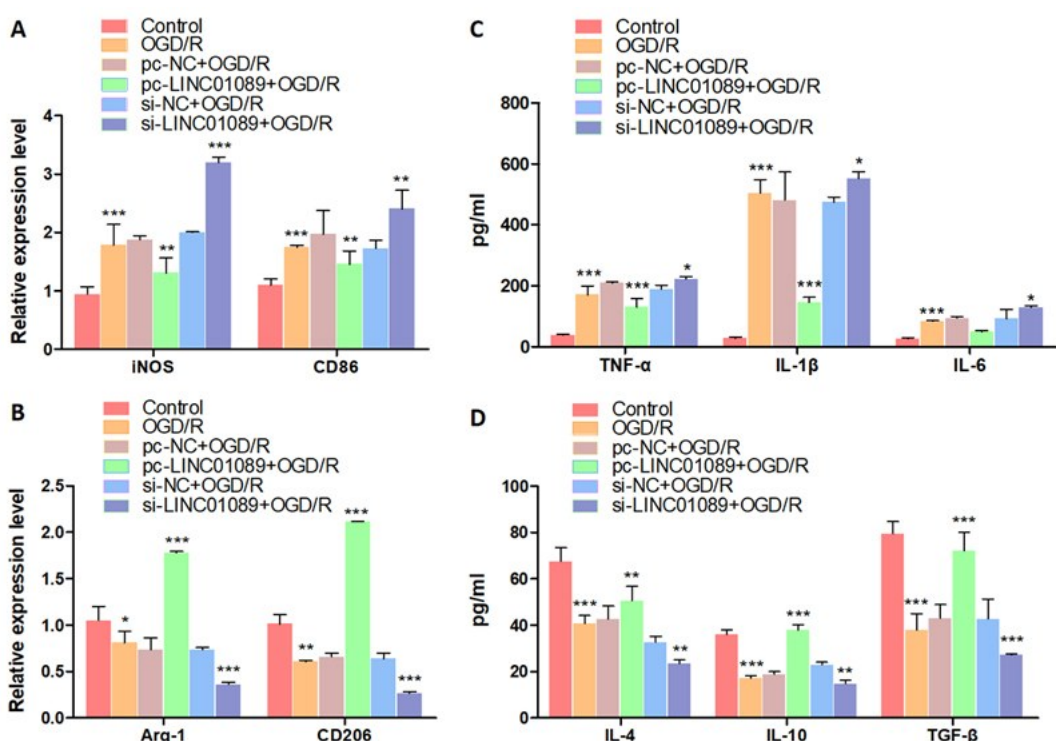


图2 lncRNA LINC01089对小胶质细胞OGD/R损伤后极化和炎症反应的影响

A. 小胶质细胞M1型标志物iNOS和CD86 mRNA表达水平；B. 小胶质细胞M2型标志物Arg-1和CD206 mRNA表达水平；C. 细胞上清液促炎因子IL-1β、IL-6和TNF-α的含量；D. 细胞上清液抗炎因子IL-4、IL-10和TGF-β的含量；与pc-NC相应值组比较, \*\* P<0.01, \*\*\* P<0.001；与si-NC组相应值比较, \* P<0.05, \*\* P<0.01, \*\*\* P<0.001

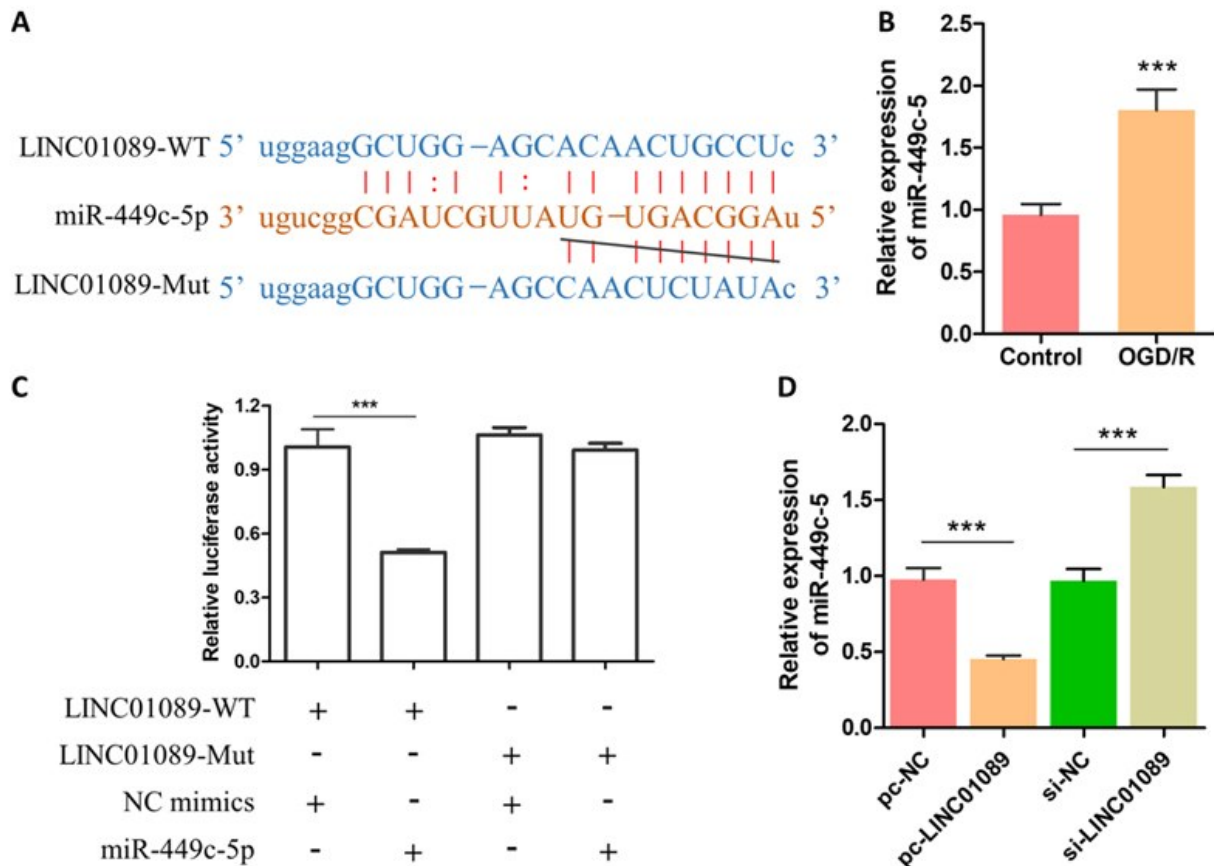


图3 荧光素酶报告基因实验验证lncRNA LINC01089与miR-449c-5p的关系

A. 网站检索预测lncRNA LINC01089与miR-449c-5p的结合位点序列; B. miR-449c-5p的表达水平,与对照组相应值比较,\*\*\*  $P<0.001$ ; C. 荧光素酶活性实验验证miR-449c-5p能够与lncRNA LINC01089吸附结合降低其表达,\*\*\*  $P<0.001$ ; D. lncRNA LINC01089过表达和低表达对miR-449c-5p的影响,\*\*\*  $P<0.001$

( $P<0.001$ ;图5B),而含STAT6-Mut荧光素酶活性无显著差异( $P>0.05$ ;图5B)。与模拟物对照组相比,miR-449c-5p模拟物组miR-449c-5p表达水平显著增加( $P<0.001$ ;图5C),STAT6蛋白表达水平明显降低( $P<0.001$ ;图5D)。与pc-NC组相比,pc-LINC01089组STAT6蛋白表达水平明显增加( $P<0.05$ ;图5D)。

### 3 讨论

本文结果表明,OGD/R损伤后,小胶质细胞lncRNA LINC01089表达水平显著下降,同时,OGD/R可诱导小胶质细胞向M1型转化,促进炎症反应;沉默lncRNA LINC01089的表达可以调控小胶质细胞向M2型转化,并减轻OGD/R损伤后炎症反应。过表达lncRNA LINC01089,靶向负调控miR-449c-5p表达,从而促进STAT6表达,促使小胶质细胞向M1型转化,促进炎症反应。

近年来,lncRNA已成为缺血性卒中研究的热点

<sup>[5]</sup>。lncRNA作为表现遗传修饰子,主要通过调控染色质的转录和转录后基因水平影响蛋白质表达,调节机体的生理和病理过程。小胶质细胞是单核吞噬细胞家族的成员,是中枢神经系统中重要的免疫细胞,参与许多神经系统疾病的发生、发展<sup>[6]</sup>。脑卒中引起的小胶质细胞极化导致多种炎症介质的释放。研究表明,M2型小胶质细胞通过分泌抗炎因子和生长因子促进组织修复<sup>[7]</sup>。相反,M1型小胶质细胞可分泌多种炎症因子和神经毒性化合物,包括一氧化碳、TNF- $\alpha$ 、IL-6和活性氧,损伤神经元<sup>[8]</sup>。M1型特征激活STAT1和NF- $\kappa$ B,产生包括TNF- $\alpha$ 、IL-1、IL-6和IL-12在内的促炎细胞因子;M2型特征是转录因子STAT6的激活,甘露糖受体(CD206)的表达升高以及细胞因子的产生<sup>[9]</sup>。本研究发现,OGD/R损伤后小胶质细胞M1型功能标志物iNOS和CD86显著上调,并促进IL1 $\beta$ 、TNF- $\alpha$ 和IL-6表达。

近年来,lncRNA在脑缺血性卒中过程中的研究越来越多。研究表明,lncRNA H19通过驱动HDAC1

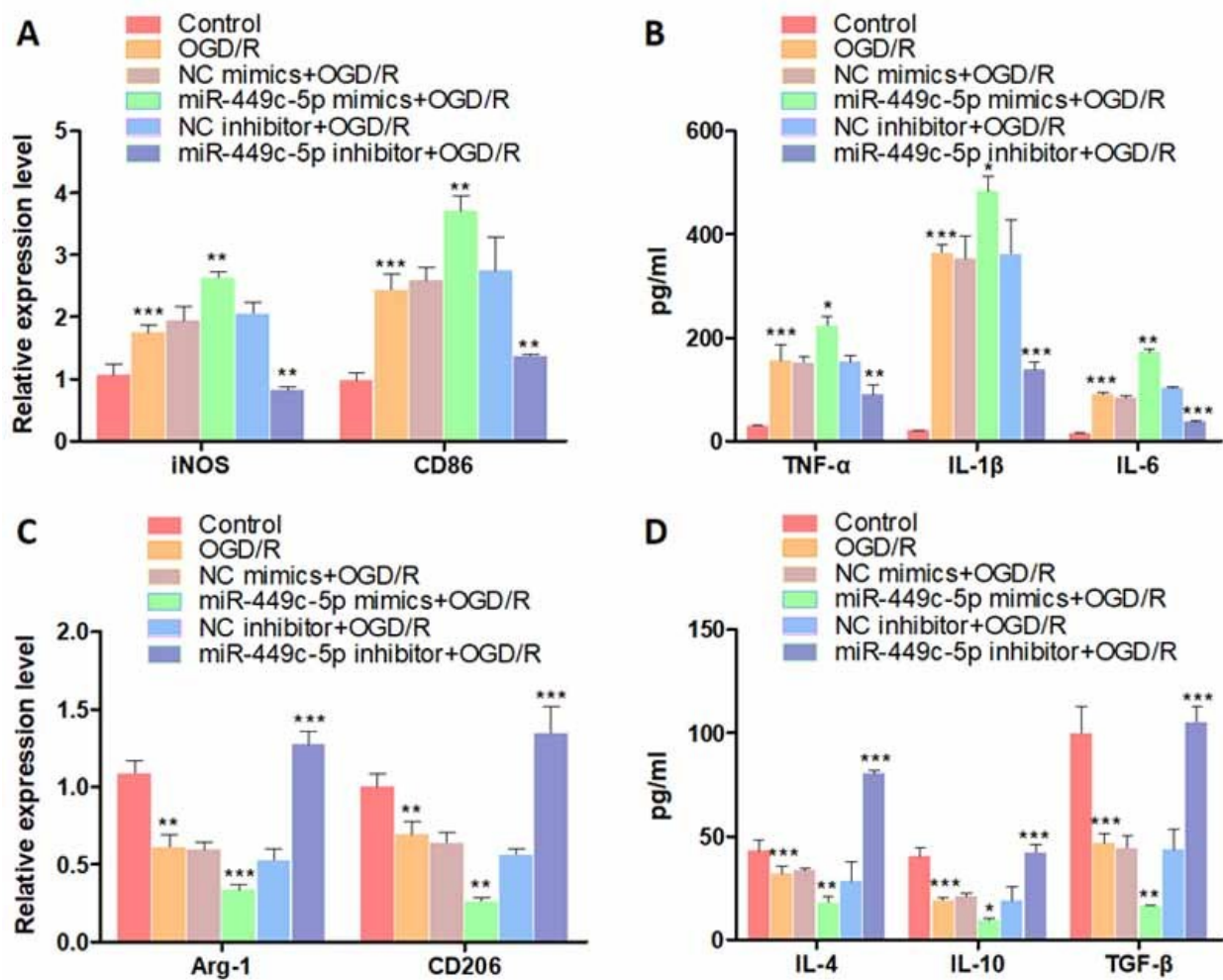


图4 miR-449c-5p对小胶质细胞的活化与炎症反应的影响

A. 小胶质细胞iNOS和CD86 mRNA的表达变化;B. 小胶质细胞Arg1和CD206 mRNA的表达变化;C. 细胞上清液促炎因子IL-1β、IL-6和TNF-α的含量;D. 细胞上清液抗炎因子IL-4、IL-10和TGF-β的含量;与NC mimics组比较, \*\* P<0.01, \*\*\* P<0.001;与NC inhibitors+OGD/R组比较, \*\* P<0.01, \*\*\*\* P<0.0001

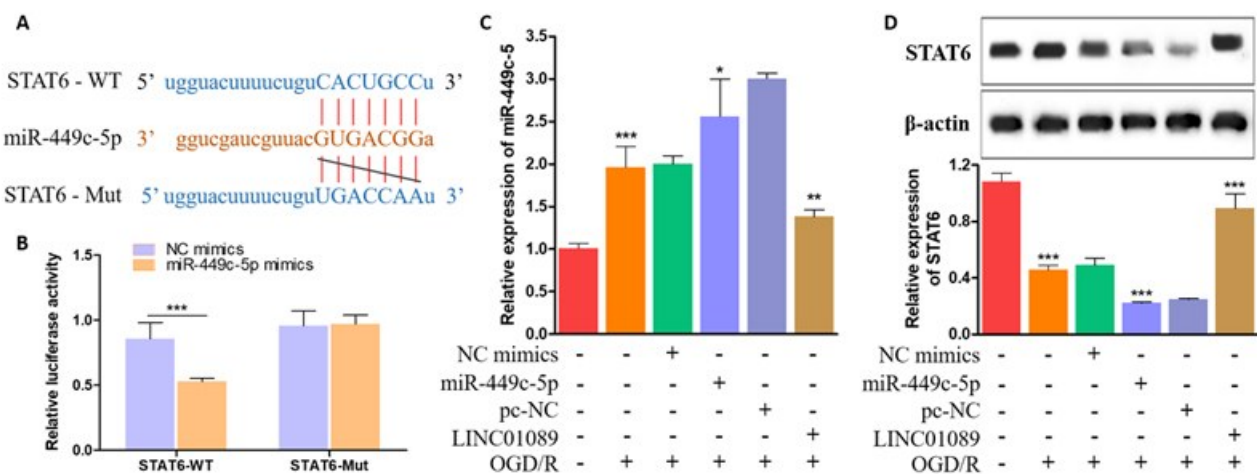


图5 荧光素酶报告基因实验验证STAT6是miR-449c-5p的下游靶点

A. 网站检索miR-449c-5p与STAT6互结合位点;B. 用荧光素酶活性实验验证miR-449c-5p可与STAT6靶向结合;C. 细胞miR-449c-5p的表达水平;D. 细胞STAT6蛋白表达水平;与NC mimics组比, \*\* P<0.01, \*\*\* P<0.001;与pc-NC组比, \*\*\* P<0.001

依赖性M1型小胶质细胞极化,促进神经炎症<sup>[10]</sup>。miRNA在调节巨噬细胞向经典型和交替激活型分化过程中起着关键的作用<sup>[11]</sup>。研究表明,miR-124下调M1型相关标志物的表达,并上调M2型相关标志物的表达<sup>[12]</sup>。本研究发现,小胶质细胞OGD/R损伤后,小胶质细胞lncRNA LINC01089显著下调,miR-449c-5p显著上调;此外,过表达lncRNA LINC01089和低表达miR-449c-5p可抑制促炎因子IL-1β、IL-6和TNF-α表达,并促进抗炎因子IL-4、IL-10和TGF-β表达。

STAT信号通路广泛参与细胞增殖、分化、凋亡以及免疫调节等过程,是众多细胞因子信号转导的重要途径<sup>[13]</sup>。STAT6是一种受其磷酸化状态调节的细胞质转录因子,可响应IL-4和IL-13而被激活。关键酪氨酸残基磷酸化后,STAT6发生二聚化,从细胞质转移至细胞核,并与其同源DNA结合,从而导致靶基因的特异性转录上调<sup>[14]</sup>。研究表明,IL-4/STAT6信号通过炎症增强剂的直接转录抑制,诱导巨噬细胞对微生物、应激和损伤相关的内源性信号脱敏<sup>[15]</sup>。研究发现,高血糖促进从暴露于APAP的肝脏中获得的肝内巨噬细胞的M1极化,抑制M2极化,MCP-1和iNOS基因表达增加,而Arg-1和CD206基因表达降低并伴随STAT1激活增加而STAT6激活减少<sup>[16]</sup>。本研究发现miR-449c-5p能够靶向负调控STAT6表达,miR-449c-5p模拟物可以抑制STAT6的表达。

综上所述,lncRNA LINC01089在调节小胶质细胞OGD/R处理后的炎症反应中具有潜在作用,其机制可能是下调lncRNA LINC01089,靶向促进miR-449c-5p的表达,从而上调STAT6表达,促使小胶质细胞向M1型转化,促进炎症反应。

## 【参考文献】

- [1] Benjamin EJ, Blaha MJ, Chiuve SE, et al. Heart disease and stroke statistics—2017 update: a report from the american heart association [J]. Circulation, 2017, 135(10): e146–e603.
- [2] Moskowitz MA, Lo EH, Iadecola C. The science of stroke: mechanisms in search of treatments [J]. Neuron, 2010, 67(2): 181–198.
- [3] Fisher M, Saver JL. Future directions of acute ischaemic stroke therapy [J]. Lancet Neurol, 2015, 14(7): 758–767
- [4] Wang Y, Pan WY, Ge JS, et al. A review of the relationship

- between long noncoding RNA and post-stroke injury repair [J]. J Int Med Res, 2019, 47(10): 4619–4624.
- [5] Saugstad JA. Non-coding RNAs in stroke and neuroprotection [J]. Front Neurol, 2015, 6: 50.
- [6] Salter MW, Beggs S. Sublime microglia: expanding roles for the guardians of the CNS [J]. Cell, 2014, 158(1): 15–24.
- [7] Patel AR, Ritzel R, McCullough LD, et al. Microglia and ischemic stroke: a double-edged sword [J]. Int J Physiol Pathophysiol Pharmacol, 2013, 5(2): 73–90.
- [8] Ma Y, Wang J, Wang Y, et al. The biphasic function of microglia in ischemic stroke [J]. Prog Neurobiol, 2017, 157: 247–272.
- [9] Van Ginderachter JA, Movahedi K, Hassanzadeh Ghassabeh G, et al. Classical and alternative activation of mononuclear phagocytes: picking the best of both worlds for tumor promotion [J]. Immunobiology, 2006, 211(6–8): 487–501.
- [10] Wang J, Zhao H, Fan Z, et al. Long noncoding RNA H19 promotes neuroinflammation in ischemic stroke by driving histone deacetylase 1-Dependent M1 microglial polarization [J]. Stroke, 2017, 48(8): 2211–2221.
- [11] Ponomarev ED, Veremeyko T, Weiner HL. MicroRNAs are universal regulators of differentiation, activation, and polarization of microglia and macrophages in normal and diseased CNS [J]. Glia, 2013, 61(1): 91–103.
- [12] Ponomarev ED, Veremeyko T, Barteneva N, et al. MicroRNA-124 promotes microglia quiescence and suppresses EAE by deactivating macrophages via the C/EBP-α-PU.1 pathway [J]. Nat Med, 2011, 17(1): 64–70.
- [13] Lawrence T, Natoli G. Transcriptional regulation of macrophage polarization: enabling diversity with identity [J]. Nat Rev Immunol, 2011, 11(11): 750–761.
- [14] Hou J, Schindler U, Henzel WJ, et al. An interleukin-4-induced transcription factor: IL-4 Stat [J]. Science, 1994, 265(5179): 1701–1706.
- [15] Czimmerer Z, Daniel B, Horvath A, et al. The transcription factor STAT6 mediates direct repression of inflammatory enhancers and limits activation of alternatively polarized macrophages [J]. Immunity, 2018, 48(1): 75–90.
- [16] Wang Q, Wei S, Zhou H, et al. Hyperglycemia exacerbates acetaminophen-induced acute liver injury by promoting liver-resident macrophage proinflammatory response via AMPK/PI3K/AKT-mediated oxidative stress [J]. Cell Death Discov, 2019, 5: 119.